



3D-Bildabgleich

Seminar: Mustererkennung in Bildern und 3D-Daten
SoSe 2004

Christian Gleichner

Gliederung:

- Einführung
- Grundtechniken
 - Abgleich mit Punktentsprechungen
 - Quaternion Methode, Singulärwertzerlegung, Duale Quaternionen, Orthogonale Matrizen
 - Abgleich ohne Punktentsprechungen
 - ICP, CM
- Ungenauigkeiten im Abgleich

Einführung

- Abgleich von Objekten dreidimensionaler Bilder über ihre Datensätze von 3D-Koordinaten
- Matchen zweier 3D-Punktmenngen X, Y durch ermitteln sich entsprechender Punktpaare (x_i, y_i) und anschließender Transformation

$$\mathbf{x}_i = \mathbf{R}\mathbf{y}_i + \mathbf{t}$$

Abgleich mit Punktkorrespondenzen

- Entsprechung aller Punkte mit selben Index zweier 3D-Punktmenge (Registration with Point Correspondences)

$$X = \{x_1, x_2, \dots, x_N\}$$

$$Y = \{y_1, y_2, \dots, y_N\} \quad x_i, y_i \in \mathbf{R}^3$$

- 3D-Objekte deckungsgleich, wenn jeder Punkt x_i über eine Transformation des entsprechenden Punktes y_i ermittelt werden kann
 - d.h. jeweils Punkt x_i auf Punkt y_i matchen

- Algorithmen, die den Abgleich zweier übereinstimmender Punktmengen möglich machen, werden benötigt
- Ermittlung der Transformation zwischen den Punktmengen, d.h. der Rotationsmatrix \mathbf{R} und des Translationsvektors \mathbf{t}
 - in jedem Punkt \mathbf{x}_i tritt ein Fehler e_i in ungenauen Datensätzen auf

$$\mathbf{x}_i = \mathbf{R}\mathbf{y}_i + \mathbf{t} + e_i$$

- Ziel der Transformations-Algorithmen ist es, die Funktion der Summe der Fehlerquadrate zu minimieren

$$\Sigma^2 = \sum_{i=1}^N \left\| \mathbf{x}_i - \mathbf{R}\mathbf{y}_i - \mathbf{t} \right\|^2$$

Quaternion Rotation

- Quaternionen sind Vektoren komplexer Zahlen, die 2-D und 3-D Rotationen repräsentieren

$$\mathbf{q}_R = (q_0 \quad q_1 \quad q_2 \quad q_3) \quad \text{mit } q_0 \geq 0 \text{ und } q_0^2 + q_1^2 + q_2^2 + q_3^2 = 1$$

- Vor dem Algorithmus werden die Objekte in den Koordinatenursprung bewegt
 - Schwerpunkte der Objekte ergeben sich dabei aus dem arithmetischen Mittel aller Punkte

$$\mu_X = \frac{1}{N} \sum_{i=1}^N \mathbf{x}_i \quad \mu_Y = \frac{1}{N} \sum_{i=1}^N \mathbf{y}_i$$

- Berechnung der neuen Punktmengen um den Koordinatenursprung

$$X' : \quad \mathbf{x}'_i = \mathbf{x}_i - \mu_X$$

$$Y' : \quad \mathbf{y}'_i = \mathbf{y}_i - \mu_Y$$

Quaternion Methode:

1. Berechnung der Kovarianzmatrix $\Sigma_{XY} = \sum_{i=1}^N \mathbf{x}'_i \mathbf{y}'_i{}^T$
2. Berechnung der Matrix $\mathbf{A} = \Sigma_{XY} - \Sigma_{XY}^T$ $\mathbf{A} = \begin{pmatrix} a_{11} & \mathbf{a}_{12} & a_{13} \\ a_{21} & a_{22} & \mathbf{a}_{23} \\ \mathbf{a}_{31} & a_{32} & a_{33} \end{pmatrix}$

3. Konstruktion des symmetrischen Matrix

$$\mathbf{Q} = \begin{pmatrix} sp(\Sigma_{XY}) & \Delta^T \\ \Delta & \Sigma_{XY} + \Sigma_{XY}^T - sp(\Sigma_{XY})\mathbf{I}_3 \end{pmatrix} \quad \Delta = \begin{pmatrix} a_{23} \\ a_{31} \\ a_{12} \end{pmatrix}$$

4. Berechnung des normierten Eigenvektors des größten positiven Eigenwertes von \mathbf{Q}

$$\mathbf{q}_R = (q_0 \quad q_1 \quad q_2 \quad q_3)$$

5. Berechnung der orthogonalen Rotationsmatrix und des Translationsvektors

$$\mathbf{R} = \begin{pmatrix} q_0^2 + q_1^2 - q_2^2 - q_3^2 & 2(q_1q_2 - q_0q_3) & 2(q_1q_3 + q_0q_2) \\ 2(q_1q_2 + q_0q_3) & q_0^2 + q_2^2 - q_1^2 - q_3^2 & 2(q_2q_3 - q_0q_1) \\ 2(q_1q_3 - q_0q_2) & 2(q_2q_3 + q_0q_1) & q_0^2 + q_3^2 - q_1^2 - q_2^2 \end{pmatrix}$$

$$\mathbf{t} = \mu_X - \mathbf{R}\mu_Y$$

Singulärwertzerlegung

- Auf Singulärwertzerlegung basierende Technik (singular value decomposition, SVD)
- Vor dem Algorithmus werden die Objekte, wie in der Quaternion Methode, in den Koordinatenursprung bewegt

$$\mu_X = \frac{1}{N} \sum_{i=1}^N \mathbf{x}_i \quad \mu_Y = \frac{1}{N} \sum_{i=1}^N \mathbf{y}_i$$

$$X' : \quad \mathbf{x}'_i = \mathbf{x}_i - \mu_X$$

$$Y' : \quad \mathbf{y}'_i = \mathbf{y}_i - \mu_Y$$

Singulärwertzerlegung

Sei A $n \times n$ Matrix $A = U\Lambda V^T$

U – $n \times m$ Matrix der Eigenvektoren von AA^T

V – $m \times n$ Matrix der Eigenvektoren von $A^T A$

$$UU^T = U^T U = VV^T = V^T V = I$$

Λ – Diagonalisierung der Singulärwerte s_i von A , die sich aus den Eigenwerten λ_i von A ergeben:

$$s_i = \sqrt{\lambda_i}, i = (1 \dots n)$$

$$\Lambda = \text{diag}(s_1 \dots s_n) = \left(\sqrt{\lambda_1} \dots \sqrt{\lambda_n} \right) \quad s_1 \geq \dots \geq s_n > 0$$

SVD Methode:

1. Berechnung der Kovarianzmatrix $\Sigma_{XY} = \sum_{i=1}^N \mathbf{x}'_i \mathbf{y}'_i{}^T$
2. Finden der Singulärwertzerlegung der Kovarianzmatrix, so das gilt:

$$\Sigma_{XY} = \mathbf{U} \mathbf{\Lambda} \mathbf{V}^T$$

3. Berechnung der Rotationsmatrix $\hat{\mathbf{R}} = \mathbf{U} \mathbf{V}^T$
4. Prüfen der Determinante um die Gültigkeit des Ergebnisses sicherzustellen

Wenn $\det | \hat{\mathbf{R}} | = 1 \quad \Rightarrow \quad \mathbf{R} = \hat{\mathbf{R}}$

Andernfalls, wenn $\det |\hat{\mathbf{R}}| = -1$, versagt der Algorithmus, da die berechnete Rotationsmatrix lediglich eine Spiegelung darstellt. Man braucht eine Garantie, dass nur gültige Rotationsmatrizen berechnet werden.

Bildung der Matrix $\mathbf{V}' = \mathbf{V} \bullet \begin{pmatrix} 1 & 0 & 0 \\ 0 & 1 & 0 \\ 0 & 0 & -1 \end{pmatrix} = \begin{pmatrix} v_{11} & v_{12} & -v_{13} \\ v_{21} & v_{22} & -v_{23} \\ v_{31} & v_{32} & -v_{33} \end{pmatrix}$

Berechnung der Rotationsmatrix $\mathbf{R} = \mathbf{V}' \mathbf{U}^T$

Orthogonale Matrizen

- Weiterentwicklung der Quaternion Methode

Algorithmus:

1. Berechnung der Kovarianzmatrix $\Sigma_{XY} = \sum_{i=1}^N \mathbf{x}'_i \mathbf{y}'_i{}^T$

2. Berechnung von Eigenwerten und Eigenvektoren

$$\lambda_{i=1..3} : ch(\lambda) = \det\left|\Sigma_{XY} \Sigma_{XY}^T - \lambda \mathbf{I}\right| = 0$$

$$\hat{\mathbf{u}}_{i=1..3} : \left(\Sigma_{XY} \Sigma_{XY}^T - \lambda_i \mathbf{I}\right) \hat{\mathbf{u}}_i = 0$$

Zerlegung der symmetrischen Matrix

$$\Sigma_{XY} \Sigma_{XY}^T = \lambda_1 \hat{\mathbf{u}}_1 \hat{\mathbf{u}}_1^T + \lambda_2 \hat{\mathbf{u}}_2 \hat{\mathbf{u}}_2^T + \lambda_3 \hat{\mathbf{u}}_3 \hat{\mathbf{u}}_3^T$$

3. Wenn $\Sigma_{XY} \Sigma_{XY}^T$ positiv definit ($\lambda_i > 0 \forall i$ bzw. $rg(\Sigma_{XY} \Sigma_{XY}^T) = 3$)

Berechnung der inversen Matrix

$$\mathbf{S}^{-1} = \frac{\hat{\mathbf{u}}_1 \hat{\mathbf{u}}_1^T}{\sqrt{\lambda_1}} + \frac{\hat{\mathbf{u}}_2 \hat{\mathbf{u}}_2^T}{\sqrt{\lambda_2}} + \frac{\hat{\mathbf{u}}_3 \hat{\mathbf{u}}_3^T}{\sqrt{\lambda_3}}$$

ansonsten, wenn $rg(\Sigma_{XY} \Sigma_{XY}^T) = 2$, d.h. $\lambda_3 = 0 \Rightarrow \hat{\mathbf{u}}_3$ linear abhängig

Berechnung der pseudo-inversen Matrix

$$\mathbf{S}^+ = \frac{\hat{\mathbf{u}}_1 \hat{\mathbf{u}}_1^T}{\sqrt{\lambda_1}} + \frac{\hat{\mathbf{u}}_2 \hat{\mathbf{u}}_2^T}{\sqrt{\lambda_2}}$$

4. Berechnung der Rotationsmatrix

$$\mathbf{R} = \Sigma_{XY} \mathbf{S}^{-1} \text{ bzw.}$$

$$\mathbf{R} = \max \left\{ \Sigma_{XY} \mathbf{S}^+ \pm \hat{\mathbf{u}}_3 \hat{\mathbf{u}}_3^T \right\} \quad (\det(\mathbf{R}) \text{ positiv} \Leftrightarrow \text{gültige Rotation, statt Spiegelung})$$

Duale Quaternion Methode

- Die duale Quaternion Methode unterscheidet sich signifikant von den vorherigen Algorithmen
- Die Methode wurde ursprünglich entwickelt um die folgende Fehlerfunktion zu minimieren

$$\Sigma^2 = \sum_{i=1}^L \alpha_i \left\| \mathbf{n}_{x_i} - \mathbf{R} \mathbf{n}_{y_i} \right\|^2 + \sum_{i=1}^N \beta_i \left\| \mathbf{x}_i - \mathbf{R} \mathbf{y}_i - \mathbf{t} \right\|^2$$

$\mathbf{n}_{x_i}, \mathbf{n}_{y_i}$ Normalenvektoren der Objektgrenzen $\mathbf{x}_i, \mathbf{y}_i$ ($i=1 \dots L$)

α_i, β_i Gewichte der Punkt- und Normalenentsprechungen

- Für die Ermittlung der Rotationsmatrix und des Translationsvektors der Punktsprechung genügen Gewichte von $\alpha_i = 0, \beta_i = 1$

- Rotation und Translation werden durch Quaternionen, bestehend aus zwei Teilen, dargestellt

$$\mathbf{q}_X = (\mathbf{r} \quad \mathbf{s})$$

mit den Eigenschaften $\mathbf{r}^T \mathbf{r} = 1$, $\mathbf{s}^T \mathbf{r} = 0$

- Die Transformation zwischen den Objekten wird als Rotation θ um und Translation t entlang einer dreidimensionalen Geraden mit dem Richtungsvektor \mathbf{n} durch den Punkt \mathbf{p} vollzogen

$$\mathbf{r} = \begin{pmatrix} \sin\left(\frac{\theta}{2}\right) \mathbf{n} \\ \cos\left(\frac{\theta}{2}\right) \end{pmatrix} \quad \mathbf{s} = \begin{pmatrix} \frac{1}{2} \cos\left(\frac{\theta}{2}\right) \mathbf{n} + \sin\left(\frac{\theta}{2}\right) (\mathbf{p} \times \mathbf{n}) \\ -\frac{t}{2} \sin\left(\frac{\theta}{2}\right) \end{pmatrix}$$

Algorithmus:

$$1. \text{ Definiere } \mathbf{Q}(\mathbf{v}) = \begin{pmatrix} \mathbf{v}_3 \mathbf{I} + \mathbf{K}(\mathbf{v}_{0\dots 2}) & \mathbf{v}_{0\dots 2} \\ -\mathbf{v}_{0\dots 2}^T & \mathbf{v}_3 \end{pmatrix} \quad \mathbf{W}(\mathbf{v}) = \begin{pmatrix} \mathbf{v}_3 \mathbf{I} - \mathbf{K}(\mathbf{v}_{0\dots 2}) & \mathbf{v}_{0\dots 2} \\ -\mathbf{v}_{0\dots 2}^T & \mathbf{v}_3 \end{pmatrix}$$

$$\text{mit } \mathbf{K}(\mathbf{v}) = \begin{pmatrix} 0 & -v_2 & v_1 \\ v_2 & 0 & -v_0 \\ -v_1 & v_0 & 0 \end{pmatrix}$$

Berechnung der Matrizen

$$\mathbf{C}_1 = \sum_{i=1}^N \mathbf{Q}(\tilde{\mathbf{x}}_i) \mathbf{W}(\tilde{\mathbf{y}}_i)$$

$$\mathbf{C}_3 = 2 \sum_{i=1}^N (\mathbf{W}(\tilde{\mathbf{x}}_i) - \mathbf{Q}(\tilde{\mathbf{y}}_i))$$

$$\mathbf{C}_4 = \sum_{i=1}^N (\tilde{\mathbf{x}}_i^T \tilde{\mathbf{x}}_i + \tilde{\mathbf{y}}_i^T \tilde{\mathbf{y}}_i)$$

$$\text{wobei } \tilde{\mathbf{x}}_i = \frac{1}{2} \begin{pmatrix} x_i \\ 0 \end{pmatrix}, \tilde{\mathbf{y}}_i = \frac{1}{2} \begin{pmatrix} y_i \\ 0 \end{pmatrix} \in \mathbf{R}^4$$

2. Berechnung der Quaternion Rotation \mathbf{r} als Eigenvektor des größten Eigenwertes λ_{\max} von

$$\mathbf{A} = \frac{1}{4N} \mathbf{C}_3^T \mathbf{C}_3 - \mathbf{C}_1 \quad \mathbf{r} : (\mathbf{A} - \lambda_{\max} \mathbf{I}) \mathbf{r} = 0$$

3. Berechnung der Rotationsmatrix

$$\mathbf{R} = (r_3^2 - \mathbf{r}_{0\dots 2}^T \mathbf{r}_{0\dots 2}) \mathbf{I} + 2 \mathbf{r}_{0\dots 2} \mathbf{r}_{0\dots 2}^T + 2r_3 \mathbf{K}(\mathbf{r}_{0\dots 2})$$

4. Berechnung der Translation

$$\mathbf{t} = \mathbf{W}(\mathbf{r})^T \mathbf{s} \quad \mathbf{s} = -\frac{1}{2N} \mathbf{C}_3 \mathbf{r}$$

Methoden des Abgleichs mit Entsprechungen

- Jeder der vier Algorithmen hat seine Vorteile bzw. Nachteile in Genauigkeit, Stabilität und Effizienz
- Keine erheblichen Unterschiede bei der Anwendung der Methoden auf begrenzten 3D-Daten
 - Orthogonal Matrix Methode ist die schnellste für kleine Datensätze
 - Dual Quaternion Methode ist aufgrund seltener Speicherzugriffe für große Datensätze am effizientesten
- Effizienz hängt bei allen Methoden von der Größe des Cache und vor allem von der Implementierung der Routinen der linearen Algebra ab

Abgleich ohne Entsprechungen

- Abgleich ohne Entsprechung zwischen 3D-Punktmengen zu kennen (Registration without Correspondences)
- Entsprechungen zwischen den Punkten x_i , y_i und die entsprechende Transformation sind zu berechnen
- Algorithmen des Abgleichs ohne sich entsprechender Punktpaare sollten ein optimales Ergebnis, mit möglichst kleinen Fehler, erzielen

Iterativer Algorithmus des nahsten Punktes

- Besl, McKay, 1992 (Iterative Closest Point Algorithm, ICP)
- Methode, um 3D-Objekte wie Punktmengen, Kurven und Flächen zu erkennen
- Entwickelt, um ein Datensatz eines gemessenen 3D-Objektes Y gegen eine Modell X zu matchen
- Einfacher Algorithmus, da nur zwei Prozeduren
 - Bestimmung des nahsten Punktes des Modells zu einem gegebenen Kontrollpunkt eines geometrischen Objektes
 - Berechnung der Transformation zwischen den zwei entsprechenden (gegebene und ermittelte) Punktmengen

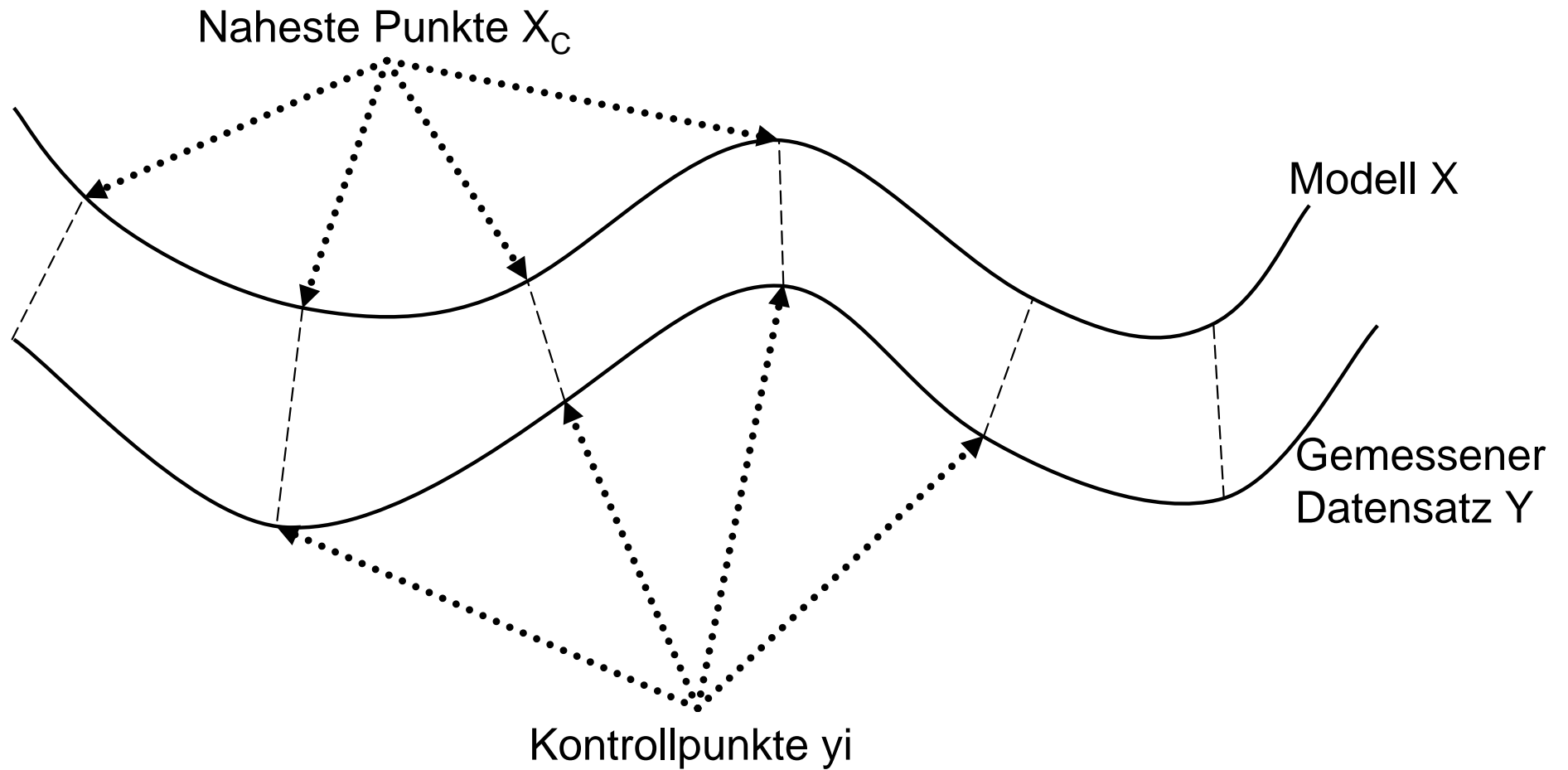
- 3D-Datensatz Y wird in N_Y Punkte und Modell X in N_X Segmente, Punkte oder Dreiecke zerlegt

- Abstandsmetrik zwischen einem gegebenen Punkt $\mathbf{y} \in Y$ und Modell X

$$d(\mathbf{y}, X) = \min_{\mathbf{x} \in X} \|\mathbf{x} - \mathbf{y}\|$$

- Punkt $\mathbf{x}_c \in X$ nahster Punkt zu Y : $d(\mathbf{y}, \mathbf{x}_c) = d(\mathbf{y}, X)$
- Bilden der Punktmenge X_C aller Punkte \mathbf{x}_c der entsprechenden Punkte in Y
 - definiere dazu Operator C : $X_C = C(Y, X)$
- Ermitteln der Rotationsmatrix \mathbf{R} , des Translationsvektors \mathbf{t} , des mittleren quadratischen Abstands d , um die zwei Punkt Mengen X, Y zu matchen
 - definiere dazu eine Prozedur Q , die z.B. eine der beschriebenen Punktentsprechungs-Methoden (Quaternion Rotation, SVD, orthogonale Matrizen, duale Quaternionen) umsetzt

$$(\mathbf{R}, \mathbf{t}, d) = Q(X_C, Y)$$



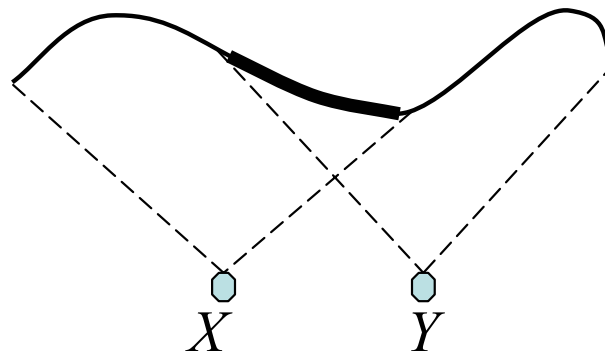
Algorithmus:

1. Initialisiere $\mathbf{R}_0 = \mathbf{I}$, $\mathbf{t}_0 = \mathbf{0}$, $Y_0 = Y$
2. Wiederhole (für $k = 0, k = k+1$) bis der mittlere quadratische Fehler e zwischen zwei Schritten unter einen Schwellwert $\tau > 0$ sinkt

$$e = d_k - d_{k-1} < \tau$$

- a) Ermittle die nahesten Punkte $X_{Ck} = C(Y_k, X)$
- b) Ermittle die Transformation $(\mathbf{R}_k, \mathbf{t}_k, d_k) = Q(Y_0, X_{Ck})$
- c) Berechne aktuelle Punktmenge $Y_{k+1} = \mathbf{R}_k Y_0 + \mathbf{t}_k$

- Nutzung eines objektabhängigen Schwellwerts $\tau \sqrt{sp \Sigma_X}$
- ICP konvergiert für eine optimale Transformation gegen ein lokales Minimum bzgl. des mittleren Abstandes
- ICP stößt bei der Objekt-, Szenenrekonstruktion an seine Grenzen
- Teilweise überlappende Sichten des abzugleichenden Objekts mit dem Modell können zu fehlerhaften Ergebnissen führen
 - es fehlen Punkte, die sich in X und Y entsprechen und Punktpaare bilden können



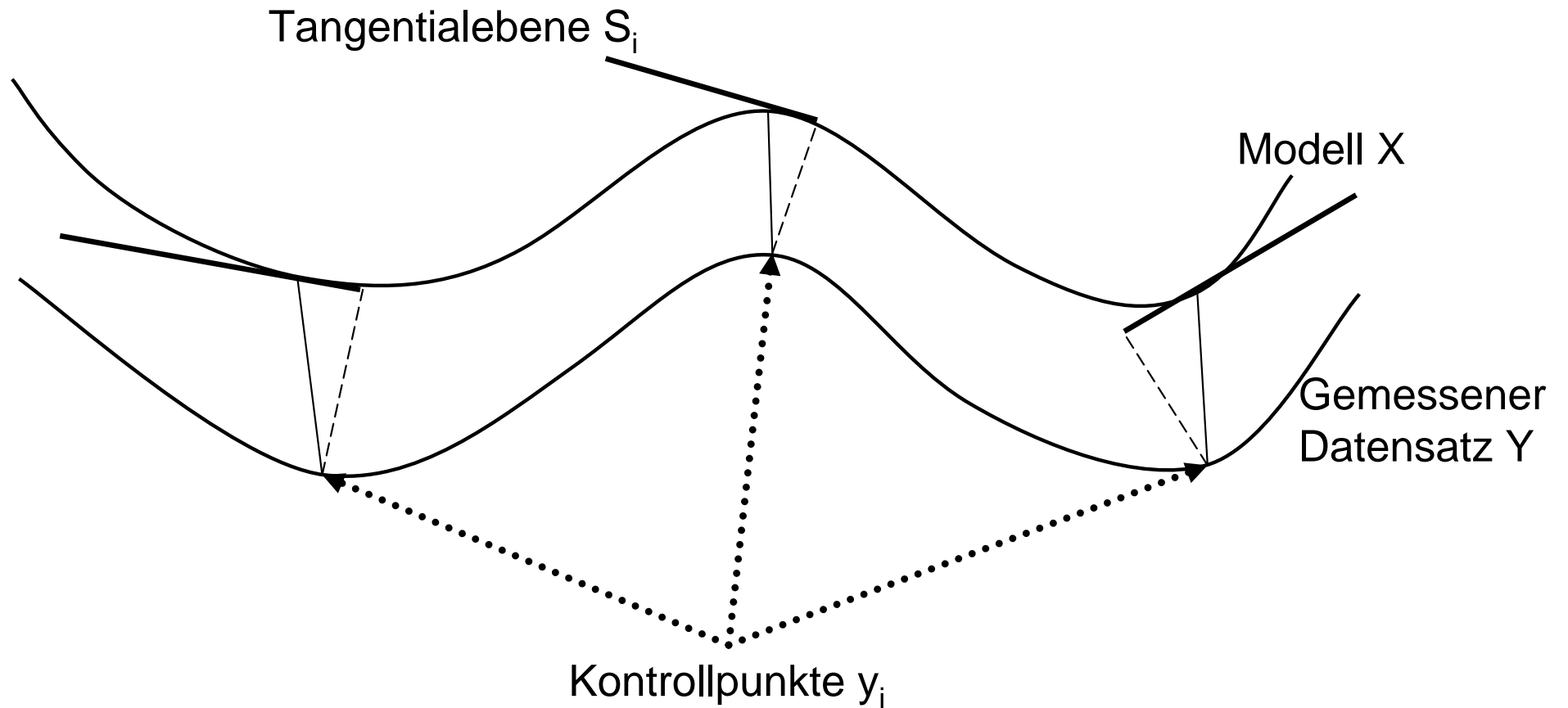
Modifikationen des ICP:

- Verwenden eines Schwellwertes des maximalen Abstandes zwischen den Punktpaaren, die sich in jedem Schritt entsprechen könnten
 - Datensatz Y muss so nicht unbedingt Teil des Modells X sein
- Punkte außerhalb der Flächengrenzen vom Matching ausschließen
 - Entfernen der peripheren Punkte, die signifikante Fehler verursachen
- Nutzen von Gewichten entsprechender Punktpaare

Iterativer Matching Algorithmus

- Chen, Medioni, 1992 (CM)
- Unterscheidet sich vom ICP nur im Fehlerkriterium
- Minimieren des Abstandes der Punkte des Datensatzes Y zu Tangentenebenen S_i am Modell X
 - Normalen an Kontrollpunkten y_i schneiden Modell X in x_i
 - Tangentialebenen S_i in x_i , um die Transformation, die den Abstand zwischen S_i und y_i minimiert, zu ermitteln
- Fehlerfunktion nach k Schritten

$$\Sigma^2 = \sum_{i=1}^N d_S^2(\mathbf{T}^k \bullet \mathbf{y}_i, S_i^k)$$



- Normale auf Y im Punkt y_i
- Normale auf S_i durch y_i

Algorithmus:

1. Wählen der Kontrollpunkte $\mathbf{y}_i \in Y$ ($i=1 \dots N'$) und berechnen der Flächennormalen \mathbf{n}_i an diesen Punkten

2. Wiederhole (für $k = 0, k = k+1$) bis ein experimentell ermittelter Schwellwert erreicht ist

$$\delta = \frac{|e^k - e^{k-1}|}{N'} \leq \varepsilon_e \quad \text{mit } \varepsilon_e > 0$$

a) Für jeden Kontrollpunkt \mathbf{y}_i

i. Berechne mittels der Transformation T die neuen Punkte und Normalen

$$\mathbf{y}'_i = \mathbf{T}^{k-1} \bullet \mathbf{y}_i$$

$$\mathbf{n}'_i = \mathbf{T}^{k-1} \bullet \mathbf{n}_i$$

ii. Ermitteln der Punkte \mathbf{x}_i , in denen die Normalen \mathbf{n}'_i der \mathbf{y}'_i das Modell X schneiden

iii. Berechnen der Tangentenebenen S_i an den Punkten \mathbf{x}_i

- b) Ermitteln der Transformation \mathbf{T} , die den Abstand zwischen den Kontrollpunkten \mathbf{y}_i und den entsprechenden Ebenen S_i minimiert
- Berechnen des zu \mathbf{y}_i nächsten Punktes der Ebene S_i
 - Berechnen der Transformation mittels der Punktentsprechungs-Methoden (Quaternion Rotation, SVD, orthogonale Matrizen, duale Quaternionen)
- c) Aktualisieren der Transformation $\mathbf{T}^k = \mathbf{T} \circ \mathbf{T}^{k-1}$

Ungenauigkeiten im 3D-Bildabgleich

- Ungenaue Punktdaten in Abgleich-Algorithmen
 - Abweichungen in den ermittelten Punkten werten und nutzen, um den Bildabgleich zu optimieren
- Abgleichsungenauigkeiten bewerten
 - nach der Berechnung der Transformation zwischen den beiden Punktmengen ein Maß der Ungenauigkeit in der aktuellen Transformation ermitteln
- Vereinigen der Punkt- und Abgleichsungenauigkeit
 - kombinieren der individuellen Punktabweichung mit den Abweichungen nach der Transformation, um alle Fehlerquellen vereint wiedergeben zu können

- Abweichungen treten in jedem Punkt auf und können in einer Kovarianzmatrix wiedergegeben werden
 - jeder Punkt des ermittelten Objektes mit unterschiedlicher Abweichung
 - Abweichungen unterscheiden sich möglicherweise auch in den Dimensionen des einzelnen Punktes
- Modifizierung der Abgleichsalgorithmen um ermittelte Ungenauigkeiten zu minimieren
 - Punktentsprechungs-Methoden (Quaternion Rotation, SVD, orthogonale Matrizen, duale Quaternionen) durch Techniken, die bekannte Abweichungen in die Berechnung einbeziehen, ergänzen

Gewichtete Entsprechungen

- Modifizierung des Fehlerkriteriums mit Gewichtung w_i jedes Punktpaares

$$\Sigma^2 = \sum_{i=1}^N w_i \|\mathbf{y}_i - \mathbf{R}\mathbf{x}_i - \mathbf{t}\|^2$$

- Berechnung der Schwerpunkte entsprechend der Gewichte

$$\mu_X = \frac{1}{N} \frac{\sum_{i=1}^N w_i \mathbf{x}_i}{\sum_{i=1}^N w_i} \quad \mu_Y = \frac{1}{N} \frac{\sum_{i=1}^N w_i \mathbf{y}_i}{\sum_{i=1}^N w_i}$$

- Gewichtete Kovarianzmatrix

$$\Sigma_{XY} = \sum_{i=1}^N w_i \mathbf{x}'_i \mathbf{y}'_i{}^T$$

$$\mathbf{x}'_i = \mathbf{x}_i - \mu_X$$

$$\mathbf{y}'_i = \mathbf{y}_i - \mu_Y$$

Berechnung der Gewichte:

- In Vereinfachung bezieht sich jedes Gewicht w_i jeweils auf ein Punktpaar $\mathbf{x}_i, \mathbf{y}_i$
 - nur ein einziger Parameter, der die unterschiedlichen Ungenauigkeiten in beiden Punkten (und ihren Dimensionen) in sich vereinigt

$$w_i = \frac{1}{sp \sum_{X_i} + sp \sum_{Y_i}}$$

- Spur der Kovarianzmatrizen nur ein grober Wert der absoluten Ungenauigkeit in jedem Punkt
- Keine Quantifizierung des Abgleichfehlers dadurch möglich

Abgleich mittels EKF

- Abgleichsmethode mit Punktentsprechung von Penneec und Thirion
- Basiert auf den erweiterten Kalman Filter (extended Kalman filter, EKF)
 - rekursive, nichtlineare Technik, die Kovarianzen der individuellen Punkte nutzen und Ungenauigkeiten der Transformation berechnen kann
- Ziel ist die Transformation d mit ihrer Kovarianz Σ_d zu ermitteln, die die entsprechenden Punktpaare x_i, y_i mit jeweiligen Kovarianzen $\Sigma_{x_i}, \Sigma_{y_i}$ optimal abgleicht

Transformation in Vektorform

- Rotation als Vektor $\mathbf{r} \in \mathbf{R}^3$ darstellbar
 - Rotation von θ um ein Gerade mit Richtungsvektor \mathbf{n} ($|\mathbf{n}|=1$)

$$\mathbf{r} = \theta \mathbf{n}$$

- Transformationsvektor \mathbf{d} gegeben durch Vereinigung des Rotationsvektors \mathbf{r} und Translationsvektors \mathbf{t}

$$\mathbf{d} = (\mathbf{r}^T \mathbf{t}^T)^T$$

- Berechnung der Transformations-Kovarianzmatrix

$$\Sigma_d = E[(\mathbf{d} - \bar{\mathbf{d}})(\mathbf{d} - \bar{\mathbf{d}})^T]$$

mit Mittelwert $\bar{\mathbf{d}}$

und Erwartungswert $E(X)$ der Zufallsvariablen X

Wahl der Punktentsprechungen

- In Matchingalgorithmen wie ICP, sollten optimale Punktentsprechungen in den zwei Datensätzen gewählt werden, um ihn robuster zu gestalten
- Modifizierung des ICP durch den Quadratischen Mahalanobis-Abstand
 - bezieht die Abweichungen in den Punkten und der Transformation mit ein
 - dabei sollte es zusätzlich einen maximal zulässigen Abstand der zu überprüfenden Punktentsprechungen geben
- Schwellwert leicht zu ermitteln, da der Mahalanobis-Abstand auf χ^2 -Verteilung mit drei Freiheitsgraden basiert
 - Berechnen des Konfidenzintervalls und ermitteln eines Schwellwert ε aus den Quantilen der χ^2 -Verteilung

- Rotationsmatrix, Translationsvektor sind Funktionen des Transformationsvektors: $\mathbf{R} = f(\mathbf{d})$ $\mathbf{t} = g(\mathbf{d})$
- Quadratischer Mahalanobis-Abstand zwischen dem Punkt \mathbf{y}_i und dem transformierten Punkt \mathbf{x}_i

$$d_i^M = (\mathbf{f}(\mathbf{d})\mathbf{x} + \mathbf{g}(\mathbf{d}) - \mathbf{y}_i)^T \Sigma_i (\mathbf{f}(\mathbf{d})\mathbf{x} + \mathbf{g}(\mathbf{d}) - \mathbf{y}_i)$$

mit der entsprechenden Kovarianzmatrix

$$\Sigma_i = \mathbf{f}(\mathbf{d}) \Sigma_x \mathbf{f}(\mathbf{d})^T + \sigma_{y_i} + \mathbf{J}_d \Sigma_d \mathbf{J}_d^T$$

$$\text{mit } \mathbf{J}_d = \frac{\partial(\mathbf{f}(\mathbf{d})\mathbf{x} + \mathbf{g}(\mathbf{d}))}{\partial \mathbf{d}}$$

Kombination der Punkt- und Transformationsabweichungen

- Transformation der Punkte \mathbf{x}_i und Berechnung der zugehörigen Kovarianz
- Berechnung der neue Punktdaten $(\mathbf{x}'_i, \Sigma'_{x_i})$ mittels der Transformation (\mathbf{d}, Σ_d)

$$\mathbf{x}'_i = \mathbf{d} \bullet \mathbf{x}_i$$

$$\Sigma'_{x_i} = \mathbf{J}_d \Sigma_d \mathbf{J}_d^T$$

Quellenangaben

- Bennamoun, M.; Mamic, G. J.: 3D object creation for recognition. Fundamental techniques / Uncertainty in 3-D registration. In: Bennamoun, M.; Mamic, G.J.: Object Recognition – Fundamentals and Case Studies. Springer, London 2002, S. 107–122
- Singular Value Decomposition - SVD
<http://www.awi-bremerhaven.de/GEO/Publ/PhDs/CPorthun/node45.html>
- Quaternionen
<http://www.ais.fhg.de/ARC/3D/download/diplom/node75.htm>
<http://www.cis.upenn.edu/~kostas/mypub.dir/ijrr99.pdf>
- Iterativer Algorithmus des nahsten Punktes
http://homepages.inf.ed.ac.uk/rbf/CVonline/LOCAL_COPIES/FISHER/ICP/cvoicp.htm